

**Universidade da Beira Interior**  
**Departamento de Informática**



***Bohr: Very Small PDB Molecular Visualizer***

Elaborado por:

**41266 — Diogo Castanheira Simões**

**41381 — Igor Cordeiro Bordalo Nunes**

Orientador:

**Professor Doutor Abel João Padrão Gomes**

14 de Janeiro de 2020

# Conteúdo

<b>Conteúdo</b>	<b>i</b>
<b>Lista de Figuras</b>	<b>iii</b>
<b>Lista de Tabelas</b>	<b>iv</b>
<b>1 Introdução</b>	<b>1</b>
1.1 Descrição da proposta . . . . .	1
1.2 Constituição do grupo . . . . .	1
1.3 Organização do Documento . . . . .	2
<b>2 Tecnologias utilizadas</b>	<b>3</b>
2.1 Introdução . . . . .	3
2.2 Ferramentas e tecnologias utilizadas . . . . .	3
2.3 Código <i>open source</i> . . . . .	4
2.4 Conclusões . . . . .	4
<b>3 Desenvolvimento e Implementação</b>	<b>5</b>
3.1 Introdução . . . . .	5
3.2 Escolhas de Implementação . . . . .	5
3.3 Detalhes de Implementação . . . . .	6
3.4 Manual de Instalação . . . . .	10
3.5 Manual de Utilização . . . . .	10
3.6 Conclusões . . . . .	11
<b>4 Reflexão Crítica e Problemas Encontrados</b>	<b>14</b>
4.1 Introdução . . . . .	14
4.2 Objetivos Propostos vs. Alcançados . . . . .	14
4.3 Divisão de Trabalho pelos Elementos do Grupo . . . . .	16
4.4 Problemas Encontrados . . . . .	16
4.5 Reflexão Crítica . . . . .	16

## CONTEÚDO

---

ii

4.5.1	Pontos Fortes . . . . .	17
4.5.2	Pontos Fracos . . . . .	17
4.5.3	Ameaças . . . . .	17
4.5.4	Oportunidades . . . . .	17
4.6	Notas finais . . . . .	18
4.7	Conclusões . . . . .	18
<b>5</b>	<b>Conclusões e Trabalho Futuro</b>	<b>19</b>
5.1	Conclusões Principais . . . . .	19
5.2	Trabalho Futuro . . . . .	19
	<b>Bibliografia</b>	<b>20</b>

# Lista de Figuras

3.1	Aplicação após abertura . . . . .	11
3.2	Janela de diálogo para abertura de ficheiro . . . . .	12
3.3	Mensagem de erro . . . . .	12
3.4	Exemplo de molécula renderizada . . . . .	13

# Lista de Tabelas

1.1	Constituição do grupo . . . . .	2
2.1	Ferramentas utilizadas . . . . .	4
4.1	Objetivos propostos vs. alcançados . . . . .	15
4.2	Distribuição de tarefas . . . . .	15
4.3	Problemas encontrados e respectivas soluções . . . . .	16

# Acrónimos

**API**    *Application Programming Interface*

**CG**    Computação Gráfica

**GLM**    *OpenGL Mathematics*

**GLSL**    *OpenGL Shader Language*

**PDB**    *Protein Database*

**SWOT**    *Strength, Weakness, Opportunity, and Threat Analysis*

**TI**    Tecnologias de Informação

**UC**    Unidade Curricular

# Capítulo 1

## Introdução

### 1.1 Descrição da proposta

Várias áreas científicas de elevada importância na sociedade moderna dependem do estudo ao nível molecular e atômico dos componentes que sustentam a vida na Terra. Entre elas destacam-se em particular a indústria farmacêutica, a biotecnologia e as áreas afetas como a química orgânica.

Contudo, apesar da existência de vários *softwares* no mercado para a visualização e estudo destas, é de grande interesse na área da Computação Gráfica (CG) perceber como se pode renderizar estas moléculas de forma a poderem ser observadas virtualmente e estudadas.

Neste sentido, o grupo desafiou-se a desenvolver um visualizador molecular simplificado de ficheiros *Protein Database* (PDB) no âmbito da Unidade Curricular (UC) de CG ao invés dos projetos clássicos propostos inicialmente.

A proposta inicial consiste num visualizador molecular que renderize a superfície implícita *pi* [1]. Contudo, devido a contratempos descritos *a posteriori* no presente documento, a implementação final centra-se na renderização da superfície de *van der Waals*.

### 1.2 Constituição do grupo

O presente projeto foi realizado pela equipa constituída pelos elementos listados na Tabela 1.1. O trabalho realizado por cada membro é descrito na Secção 4.3.

Nº	Nome
41266	Diogo Castanheira Simões
41381	Igor Cordeiro Bordalo Nunes

Tabela 1.1: Constituição do grupo.

## 1.3 Organização do Documento

De modo a refletir o projeto realizado, este relatório encontra-se estruturado em cinco capítulos:

1. No primeiro capítulo — **Introdução** — é apresentado o projeto, em particular os seus objetivos, a equipa desenvolvedora, a respetiva organização do relatório.
2. No segundo capítulo — **Tecnologias utilizadas** — são delineadas as tecnologias utilizadas durante o seu desenvolvimento.
3. No terceiro capítulo — **Desenvolvimento e Implementação** — são descritas as escolhas e os detalhes de implementação da aplicação.
4. No quarto capítulo — **Reflexão Crítica e Problemas Encontrados** — são indicados os objetivos alcançados, quais as tarefas realizadas por cada membro do grupo, assim como são expostos os problemas enfrentados e é feita uma reflexão crítica sobre o trabalho.
5. No quinto capítulo — **Conclusões e Trabalho Futuro** — são analisados os conhecimentos adquiridos ao longo do desenvolvimento do projeto e, em contrapartida, o que não se conseguiu alcançar e que poderá ser explorado futuramente.



# Capítulo 2

## Tecnologias utilizadas

### 2.1 Introdução

Antes da implementação propriamente dita da aplicação, é necessário estabelecer quais as ferramentas e as tecnologias utilizadas a fim de alcançar os objetivos propostos para o projeto. Este Capítulo aborda, portanto, este tópico.

### 2.2 Ferramentas e tecnologias utilizadas

As ferramentas utilizadas no âmbito da realização do projeto, sumariadas na Tabela 2.1, visam três componentes essenciais na sua gestão: 1) aplicação *OpenGL*<sup>®</sup>, 2) relatório, e 3) controlo de versões.

Segue-se uma descrição do uso de cada uma das tecnologias:

- ***OpenGL*<sup>®</sup> [2]:** *Application Programming Interface* (API) multi-plataforma e com suporte a múltiplas linguagens de programação para a renderização de gráficos vetoriais 2D e 3D com recurso à placa gráfica;
- ***GLFW* [3]:** API simplificada para o *OpenGL*<sup>®</sup>, igualmente multi-plataforma, permitindo a gestão de janelas, contextos, superfícies e comandos (rato, teclado e *joystick*);
- ***GLM* [4]:** biblioteca matemática baseada na linguagem dos *shaders* do *OpenGL*<sup>®</sup>, *OpenGL Shader Language* (GLSL).
- ***GLAD!* (GLAD!) [5, 6]:** gerador automático de *loaders* para *OpenGL*<sup>®</sup>;
- ***FreeType* [7]:** biblioteca de desenvolvimento dedicada à renderização de fontes em *bitmaps* utilizáveis, por exemplo, pelo *OpenGL*<sup>®</sup>.

<i>Software / Tecnologia</i>	<i>Versão</i>
<b>Aplicação <i>OpenGL</i><sup>®</sup></b>	
<i>OpenGL</i> <sup>®</sup>	4.6
GLFW	3.3.2
GLAD	0.1.34
GLM	0.9.9.8
<i>FreeType</i>	2.10.4
<b>Relatório</b>	
Xe <sub>T</sub> EX	3.14159265-2.6-0.999991
<i>TeXstudio</i> <sup>©</sup>	3.0.1
<b>Controlo de versões</b>	
<i>git</i>	2.17.1
<i>GitKraken</i>	7.4.1

Tabela 2.1: Ferramentas e tecnologias utilizadas, organizadas por categoria.

## 2.3 Código *open source*

Foi utilizado código *open source*, adaptado para o projeto sob as respetivas licenças, para as seguintes funcionalidades:

- ***Sphere*** [8, 9]: obtido dos códigos de exemplo do *OpenGL Shading Language Cookbook, 2nd Edition* para renderizar esferas sem recurso a ficheiros \*.obj criados externamente;
- ***osdialog*** [10]: biblioteca multi-plataforma para acesso facilitado às caixas de diálogo do sistema operativo, com o fim de permitir abrir qualquer ficheiro PDB dinamicamente a qualquer momento e mostrar mensagens de erro ao utilizador.

O projeto *Bohr* será por sua vez disponibilizado sob a licença *GNU General Public License, version 3* [11], após apresentação e caso seja autorizado pelo Professor regente.

## 2.4 Conclusões

Após delineadas as ferramentas e tecnologias a utilizar, segue-se a fase de desenvolvimento do projeto, descrito no Capítulo seguinte. A utilização de código *open source* e de ferramentas bem conhecidas e testadas pela comunidade mundial permitirá, em princípio, uma implementação eficiente.

## Capítulo 3

# Desenvolvimento e Implementação

### 3.1 Introdução

A fase de implementação, que se estendeu por cerca de 2 semanas, envolveu a execução paralela de diferentes tarefas pelos dois elementos do grupo. Este Capítulo aborda em particular os seguintes aspetos desta fase do projeto:

- Escolhas de implementação (Secção 3.2): explica as decisões feitas durante a implementação do código-fonte;
- Detalhes de implementação (Secção 3.3): explora os detalhes mais importantes e/ou interessantes no código-fonte.

Adicionalmente, são descritos o manual de instalação (Secção 3.4) e o manual de utilização (Secção 3.5).

### 3.2 Escolhas de Implementação

A primeira e grande escolha de implementação que se faz notar ao longo de todo o código é a utilização de classes e das bibliotecas providenciadas pelo C++ a fim de tirar o máximo partido desta linguagem de programação.

Desta forma, o código-fonte está organizado nas seguintes pastas:

- `bin`: inclui o binário compilado e as seguintes pastas:
  - `fonts`: localização das fontes utilizadas para renderizar texto;
  - `shaders`: alberga os *fragment shaders* e os *vertex shaders* para a renderização das moléculas e do texto.

- `deps`: pasta gerada pelo *Makefile* para gerir as dependências durante a compilação;
- `doc`: aloja a documentação do projeto (nomeadamente o presente relatório);
- `include`: pasta com os *header files* de todos os métodos e classes utilizados no projeto;
- `obj`: pasta gerada pelo *Makefile* para guardar os ficheiros objeto a serem compilados no executável final;
- `src`: alberga todos os códigos-fonte (ficheiros `*.cpp`) com a implementação dos métodos e das classes declaradas nos *header files* da pasta `include`.

### 3.3 Detalhes de Implementação

O ficheiro principal, `bohr.cpp`, aloja a função `main()` de onde o programa arranca. Aqui são invocadas as seguintes funções de inicialização:

```
1 GLFWwindow* initialize_glfw(int width, int height,  
    ↪ const char* title);  
2 int initialize_glad(void);
```

Estas funções inicializam, respetivamente, as bibliotecas GLFW e GLAD, necessárias para a comunicação com a API do *OpenGL*<sup>®</sup>. Caso a primeira função retorne `NULL` ou a segunda retorne `0`, é gerada uma mensagem de erro na linha de comandos e o programa é abortado. A função de inicialização do GLFW em particular associa as funções de *callback* para o teclado e para o rato.

De seguida são compilados os *shaders* de renderização das moléculas com recurso à classe *Shader* (implementada em `shader_m.cpp`):

```
1 debug("Loading shaders...\n");  
2 Shader lightingShader =  
    ↪ Shader("shaders/lighting_vs.glsl",  
    ↪ "shaders/lighting_fs.glsl");
```

Esta classe fornece métodos rápidos e muito acessíveis para manipular os dados passados aos *shaders* e a respetiva utilização.

É ainda inicializado o renderizador de texto:

```
1 TextRenderer textrender = TextRenderer(SCR_WIDTH,
    ↪ SCR_HEIGHT);
2 try {
3     textrender.Load("fonts/UbuntuMono-R.ttf", 24);
4 } catch (const std::exception &e) {
5     std::cerr << e.what() << '\n';
6 }
```

A classe *TextRenderer* está disponível *online* [12] para livre utilização, assim como os *shaders* para a renderização deste mesmo texto.

Por fim, o programa entra no seu ciclo de renderização. Este começa por limpar o *buffer* atual e renderiza os textos, nomeadamente as instruções no canto superior esquerdo e o nome do ficheiro (se aberto) no canto inferior esquerdo.

De imediato é processado o *input* de teclado do utilizador com a seguinte função:

```
1 action processInput(GLFWwindow *window, char **fname);
```

Esta função ajusta os parâmetros da câmara conforme as teclas selecionadas, mas em particular trata de abrir a janela de diálogo para abrir um ficheiro novo com o seguinte excerto de código:

```
1 if (glfwGetKey(window, GLFW_KEY_O) == GLFW_PRESS) {
2     switchModeView(window, false);
3     if (*fname != NULL) free(*fname);
4     *fname = openPDBFileDialog();
5     switchModeView(window, true);
6     return (*fname != NULL) ? action::OPEN_FILE :
    ↪ action::NO_ACTION;
7 }
```

O modo de visualização é temporariamente alterado a fim de permitir que o cursor do rato seja visível durante a seleção do ficheiro uma vez que este é oculto durante a renderização da molécula. Após obter o caminho para o ficheiro pretendido, a função verifica se porventura não será `NULL`: neste caso, a molécula renderizada atualmente mantém-se e não é apagada da memória. Caso contrário, é devolvido um enumerador do tipo `action` que indica que o utilizador selecionou um novo ficheiro:

```
1 typedef enum {
2     NO_ACTION,
3     CAMERA_RESET,
4     OPEN_FILE
5 } action;
```

No ciclo de renderização é feita uma análise deste retorno a fim de determinar a próxima ação. O *reset* da câmara envolve a invocação da seguinte chamada:

```
1 camera = molecule.resetCamera();
```

Esta função será vista mais à frente.

Caso seja aberto um novo ficheiro, a sua extensão é verificada como forma de validação primária:

```
1 bool isPBD(char *fname) {  
2     return  
3     string(std::experimental::filesystem::  
4         path(fname).extension())  
5         .compare(".pdb") == 0;  
6 }
```

Sendo um ficheiro PDB, a seguinte linha de código irá carregar uma nova molécula a partir do ficheiro selecionado pelo utilizador:

```
1 molecule = Molecule().fromPDB(fname);
```

Por fim, a molécula é renderizada de forma a apresentar a superfície de *van der Walls*:

```
1 molecule.render_vanderWalls(lightningShader, camera,  
    ↪ screen_width, screen_height, molrotx, molroty);
```

À classe *Molecule*, implementada no ficheiro `pdbreader.cpp`, são delegadas todas as seguintes tarefas:

- Ler o ficheiro PDB e fazer o respetivo *parsing* a fim de obter os átomos e as respetivas coordenadas;
- Obter os dados relativos a cada átomo dada a tabela periódica implementada em `ptable.h`, nomeadamente o raio de *van der Walls* [13] e a cor CPK [14];
- Computar as esferas associadas a cada átomo dado o raio determinado anteriormente;
- Renderizar as esferas nas posições correspondentes às coordenadas do respetivo átomo e com a respetiva cor;

- Determinar a posição inicial da câmara dada a dimensão da molécula processada através do método `resetCamera()`.

Após estudo do formato de ficheiros PDB, determinou-se que o *parsing* seria simplificado uma vez que as posições de cada dado é esperado exatamente sempre na mesma posição de cada linha, em particular:

- Três coordenadas nas posições 30, 38 e 46 da linha;
- Símbolo atómico na posição 76.

Só as linhas começadas por ATOM ou HETATM são interpretadas uma vez que são estas aquelas que contêm os dados relativos aos átomos. Uma vez que só é pretendida a superfície, não é necessário calcular as ligações entre átomos (o formato PDB não fornece esta informação explicitamente).

Dada a política determinada anteriormente na Secção 3.2, a classe *Molecule* não é responsável por calcular os pontos das esferas. Uma classe própria existe para o efeito, *VBOSphere*, sendo então criadas instâncias desta classe num vetor:

```
1 bool Molecule::generateSpheres(void) {  
2     this->spheres = vector<VBOSphere>();  
3     for (auto atom : this->atoms) {  
4         this->spheres.push_back(VBOSphere(atom.radius,  
5             ↪ 50, 50,  
6             ↪ PeriodicTable::getColorFromSymbol(atom.name)  
7                 .toVec3()));  
8     }  
9     return true;  
10 }
```

Classes e estruturas (*structs*) foram criadas para lidar com pontos e cores a fim de fornecer métodos imediatos para os converter no tipo de dados `glm::vec3` através da função `toVec3()`, comum a ambas as classes.

A renderização da molécula passa por um ciclo que percorre todas as esferas anteriormente computadas, carregando no respetivo *shader* a cor de cada esfera e a posição da câmara como fonte de luz. É de igual forma feita a transformação no mundo através de rotação, translação e escala (exatamente por esta ordem) a fim de posicionar a esfera no local exato. Bastará nesta fase invocar o seguinte método:

```
1 this->spheres[i].render();
```

O resultado final é semelhante ao do exemplo da Figura 3.4.

## 3.4 Manual de Instalação

O projeto foi implementado primariamente para o sistema operativo *Linux*. Em especial, foi utilizado o *Linux Mint 20.0* com as mais recentes atualizações em dia.

A fim de compilar o projeto, é necessário ter as seguintes bibliotecas instaladas no sistema:

- `g++`;
- `make`;
- `libglfw3-dev`;
- `libglm-dev`;
- `freetype`.

O *Makefile* incluído tratará da compilação de todos os ficheiros de forma automática, sendo fornecidos três modos:

1. `make debug`: compila no modo *debug*, o qual providencia informações adicionais durante a execução para fins de desenvolvimento;
2. `make release`: compila no modo *release*, ou seja, cria uma versão final para o utilizador final;
3. `make clean`: elimina todas as dependências, ficheiros objeto e executáveis a fim de se poder realizar uma compilação fresca de seguida.

## 3.5 Manual de Utilização

Com o projeto compilado, é **peremptória** a execução do programa através da linha de comandos **dentro da pasta** onde se encontra o executável. A sua execução é alcançada da seguinte forma:

```
./bohr
```

Ao abrir, a aplicação apresenta apenas as opções disponíveis e indica no fundo a informação “*No file opened*” (Figura 3.1). As opções são as seguintes:

- Tecla `O`: abrir ficheiro PDB;
- Teclas `WASD`: mover a câmara;
- Rato: rodar a câmara;
- Teclas `2468` ou setas: rodar a molécula;
- Teclas `ESC` ou `Q`: fechar a aplicação.



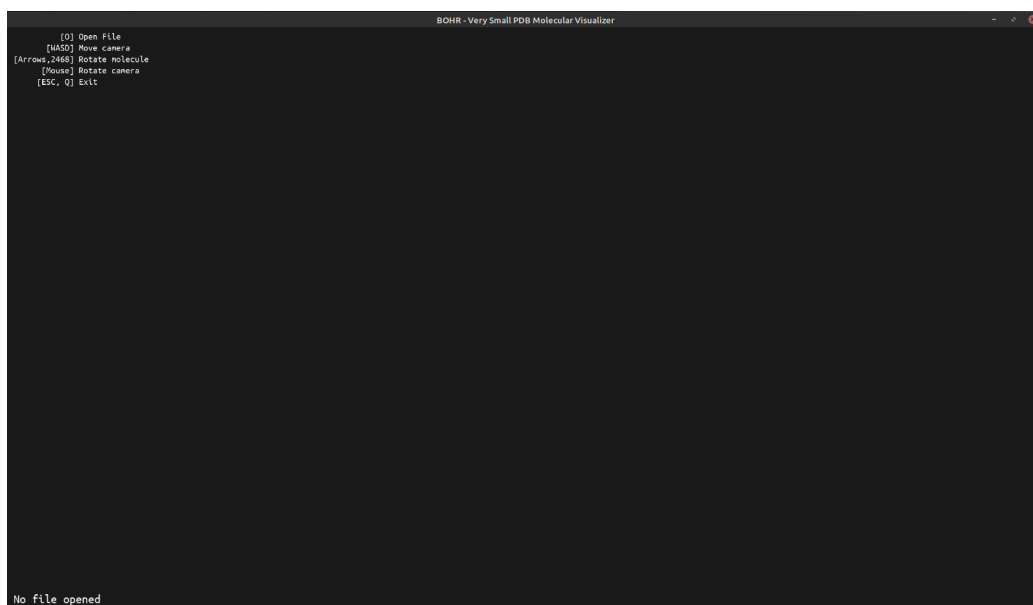


Figura 3.1: Aplicação após abertura ou quando não tem uma molécula aberta para renderização.

Com a opção `O` (abrir ficheiro) é aberto um diálogo do sistema operativo para escolher um ficheiro à discrição do utilizador (Figura 3.2). Caso o ficheiro selecionado não seja um ficheiro PDB, é apresentada uma mensagem de erro num diálogo gráfico (Figura 3.3). Contudo, caso o ficheiro seja válido, a aplicação irá interpretar os dados e renderizar a nova molécula (exemplo na Figura 3.4).

## 3.6 Conclusões

A exposição dos pontos mais importantes relacionados com a fase de implementação da aplicação *Bohr* permitiu ao grupo fazer uma retrospectiva do seu trabalho e perceber quais foram os pontos fortes e os pontos fracos do resultado final. Tal abre a porta para a última fase do projeto, uma fase sem código nem questões técnicas: a reflexão crítica.

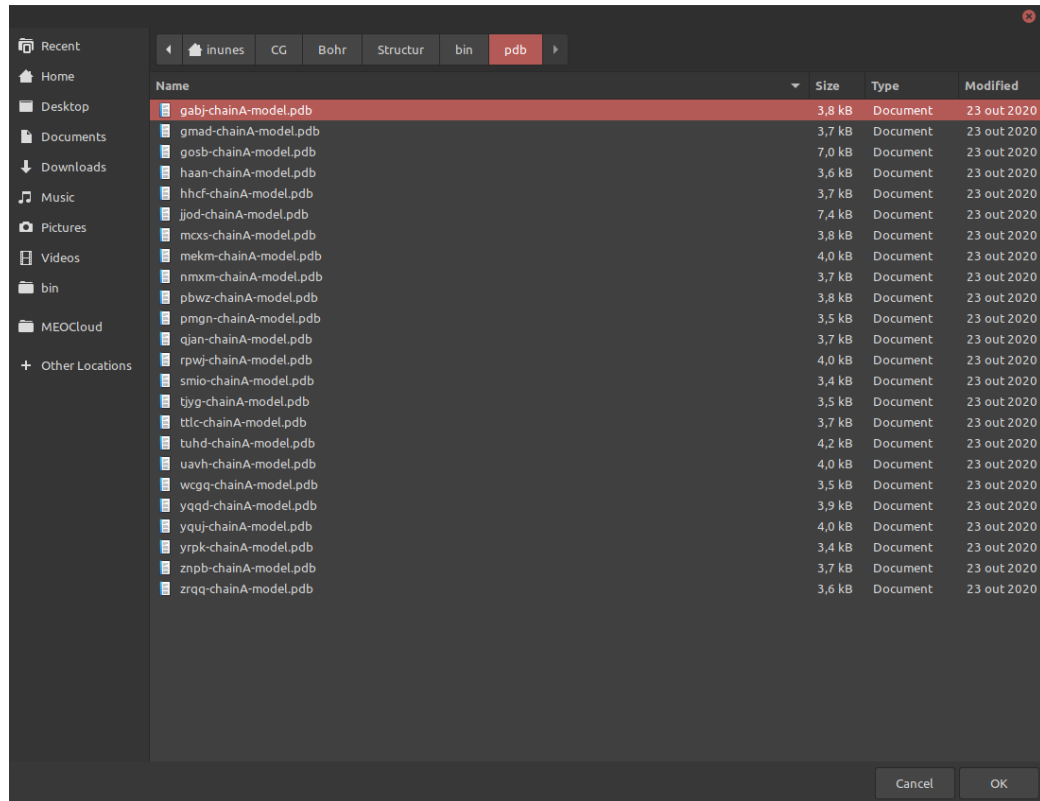


Figura 3.2: Janela de diálogo do sistema operativo para abertura de um novo ficheiro PDB.

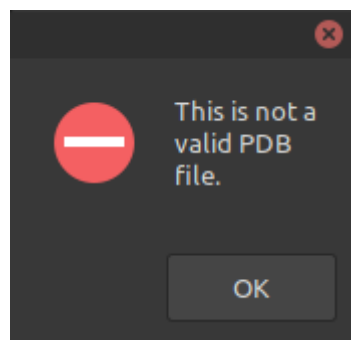


Figura 3.3: Mensagem de erro caso o ficheiro não seja válido.

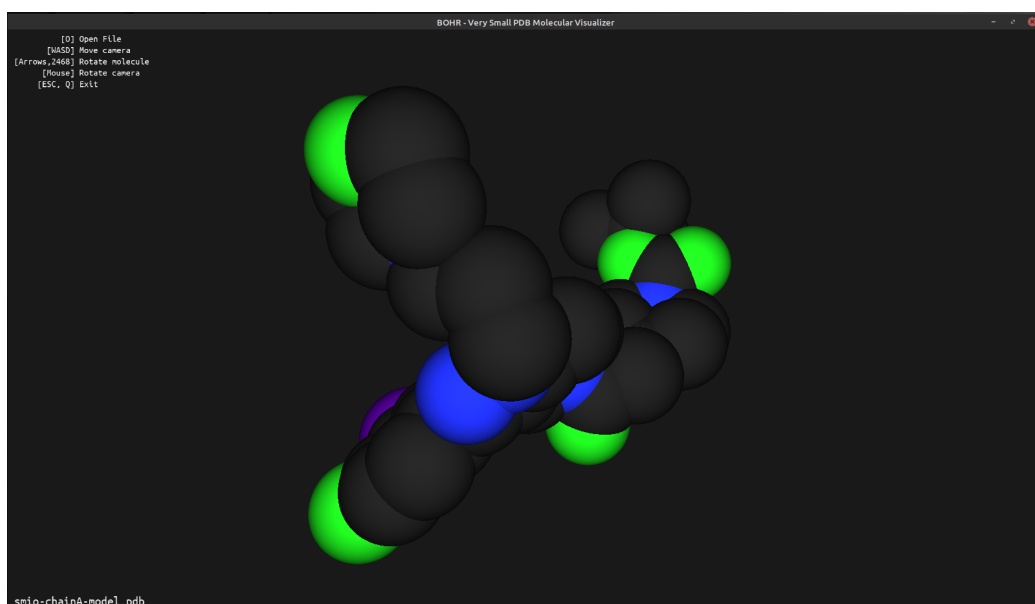


Figura 3.4: Exemplo de uma molécula renderizada na aplicação após interpretação do ficheiro PDB.

## Capítulo 4

# Reflexão Crítica e Problemas Encontrados

### 4.1 Introdução

Não obstante o planeamento feito *a priori*, o projeto *Bohr*, tal como qualquer outro na área das Tecnologias de Informação (TI), enfrentou alguns contratemplos e, devido a problemas de saúde e pessoais severos por parte de um dos membros do grupo, não se revelou possível almejar todas as ambições inicialmente imaginadas. É preciso, pois, refletir sobre o desenvolvimento deste projeto.

Neste Capítulo são, portanto, explorados os seguintes tópicos:

- Objetivos propostos vs. alcançados (Secção 4.2): compara os objetivos inicialmente propostos com aqueles que foram concluídos no projeto final;
- Divisão de trabalho pelos elementos do grupo (Secção 4.3): lista as tarefas realizadas por cada elemento da equipa;
- Problemas encontrados (Secção 4.4): na sequência da Secção 4.2, explora os problemas encontrados durante a implementação da aplicação;
- Reflexão crítica (Secção 4.5): é feita uma *Strength, Weakness, Opportunity, and Threat Analysis* (SWOT) em retrospectiva pela equipa acerca do projeto.

### 4.2 Objetivos Propostos vs. Alcançados

A Tabela 4.1 expõe os objetivos propostos inicialmente para o projeto e identifica quais foram alcançados na sua plenitude, quais foram alcançados apenas parcialmente, e quais não tiveram sucesso.

Objetivo proposto	Alcançado?
<i>Parsing</i> de ficheiros PDB	●
Computação das esferas	●
Obtenção do raio de cada átomo	●
Obtenção da cor CPK de cada átomo	●
Renderização de uma esfera	●
Renderização de uma molécula	●
Rotação de uma molécula	●
Movimentação da câmara	●
Abertura dinâmica de ficheiros por interface gráfica	●
Renderização da superfície de <i>van der Walls</i>	●
Suporte a proteínas	○
Renderização da superfície implícita <i>pi</i>	—
Utilização regular do <i>Trello</i>	—

Tabela 4.1: Objetivos propostos e respetiva indicação de sucesso.

*Legenda.* ● Alcançado em pleno; ○ Alcançado parcialmente. — Não alcançado.

Tarefa	DS	IN
<i>Parsing</i> de ficheiros PDB		●
Computação das esferas		●
Obtenção do raio de cada átomo	●	
Obtenção da cor CPK de cada átomo	●	
Renderização de uma esfera		●
Renderização de uma molécula		●
Rotação de uma molécula	●	
Movimentação da câmara	●	
Abertura dinâmica de ficheiros por interface gráfica		●
Renderização da superfície de <i>van der Walls</i>		●

Tabela 4.2: Distribuição de tarefas pelos elementos do grupo.

*Legenda.* ● principal responsável; ○ auxiliou. DS: Diogo Simões; IN: Igor Nunes.

### 4.3 Divisão de Trabalho pelos Elementos do Grupo

A fim de agilizar o desenvolvimento do projeto, as tarefas foram distribuídas de forma balanceada pelos dois elementos da equipa (Tabela 4.2). De notar que, apesar da divisão de tarefas, a participação do grupo no seu todo foi essencial nos momentos de entreaajuda, esclarecimento de dúvidas e consolidação da aplicação final.

### 4.4 Problemas Encontrados

A implementação da aplicação levou a que o grupo encontrasse alguns problemas e contratempos, os quais teve de ultrapassar a fim de terminar o projeto. Os problemas mais notáveis são resumidos na Tabela 4.3, incluindo as soluções encontradas para os ultrapassar.

Problema	Solução
<i>Parsing</i> dos ficheiros PDB.	Estudo do formato segundo descrito em diversos fóruns <i>online</i> a fim de determinar as posições exatas dos dados relativo a cada átomo.
Procura do método mais eficiente para renderizar uma esfera.	Utilização da classe <i>Sphere</i> disponibilizada no <i>OpenGL Shading Language Cookbook, 2nd Edition</i> [9] a fim de evitar a importação de objetos externos.
Determinação da superfície implícita <i>pi</i> .	Sem solução encontrada. É necessário mais estudo.
Renderização da superfície implícita <i>pi</i> e dificuldade do algoritmo <i>marching cubes</i> .	Adoção do algoritmo <i>marching triangles</i> com recurso ao código <i>open source</i> disponível em [15]. Solução não presente na aplicação final devido ao problema anterior não solucionado.

Tabela 4.3: Problemas encontrados durante o desenvolvimento da aplicação e respetivas soluções adotadas.

### 4.5 Reflexão Crítica

Tendo por objetivo expor a reflexão da *Lunáticos* face ao trabalho enveredado no desenvolvimento da aplicação *Bohr*, propõe-se efetivá-la com uma análise SWOT.

### 4.5.1 Pontos Fortes

1. A aplicação permite abrir uma nova molécula a qualquer momento.
2. É utilizada interface gráfica do sistema operativo para interagir com o utilizador.
3. As esferas são calculadas dinamicamente pela aplicação sem recurso a objetos externos.
4. O renderizador tem em conta a cor de cada átomo e o respetivo raio de *van der Walls*, mostrando assim a superfície de *van der Walls*.

### 4.5.2 Pontos Fracos

1. O *parser* PDB não contempla ficheiros relativos a proteínas.
2. O mesmo código-fonte compilado em diferentes sistemas operativos não garante exatamente o mesmo comportamento em relação à câmara e ao teclado.
3. Não é calculada a superfície implícita *pi*, não sendo então possível renderizar esta.
4. Só é renderizado um tipo de superfície molecular.

### 4.5.3 Ameaças

1. O *software* não contempla a possibilidade de fechar a molécula atualmente aberta nem se mostrar várias moléculas lado-a-lado.
2. O uso de interface gráfica não tem um comportamento garantido em *cross-platform*.
3. Para moléculas de grandes dimensões, a aplicação poderá facilmente tornar-se exigente em termos de recursos de memória.
4. Já existem variados *softwares* de visualização molecular, apesar da pertinência deste projeto no âmbito da UC de CG.

### 4.5.4 Oportunidades

1. Adicionar suporte para aminoácidos.
2. Adaptar com *flags* do pré-processador do C++ o código-fonte a fim de ultrapassar as limitações em cada sistema operativo.
3. Determinar a superfície implícita *pi* a fim de dar uso ao algoritmo *marching triangles* estudado para este projeto.
4. Renderizar mais superfícies, tendo em conta os vários raios armazenados na tabela periódica interna da aplicação.

## 4.6 Notas finais

Antes de terminar a reflexão crítica, é pertinente levar em conta os problemas pessoais e de saúde enfrentados por cada um dos membros do grupo que acabou por levar a um significativo atraso da conclusão do projeto face à data prevista.

O grupo reconhece, portanto, este mesmo atraso, o qual culminou no não cumprimento total dos objetivos inicialmente propostos para este projeto.

Não obstante, o facto de esta aplicação ter por base o cálculo e a renderização dinâmica de todos os seus elementos, ao invés de uma abordagem *hard-coded*, levantou novos desafios até então não encontrados durante as aulas práticas da UC de CG.

Consideramos, portanto, que, apesar do lamentável atraso, o resultado final obtido é satisfatório.

## 4.7 Conclusões

Esta fase de reflexão permitiu analisar o trabalho enveredado ao longo das semanas de planeamento, execução e teste. Com esta análise, a equipa pôde tirar conclusões não só sobre o seu desempenho, mas também acerca das tecnologias utilizadas, as quais serão expostas no Capítulo seguinte.



## Capítulo 5

# Conclusões e Trabalho Futuro

### 5.1 Conclusões Principais

Após conclusão do projeto “Bohr: *Very Small PDB Molecular Visualizer*”, o grupo alcançou como produto final uma aplicação minimalista de visualização molecular a partir de ficheiros PDB para moléculas mais simples.

Apesar de não se ter obtido o cálculo da superfície implícita  $\pi$ , foi alcançado com sucesso a renderização da superfície de *van der Waals*, sem dúvida uma das mais comuns e familiares na área da química.

Tendo sido o primeiro projeto completo na área da Computação Gráfica, concluímos que o projeto teve um resultado satisfatório, apesar de não ideal.

### 5.2 Trabalho Futuro

A implementação do cálculo da superfície implícita  $\pi$  é, sem dúvida, o principal objetivo de trabalho futuro.

Dois objetivos secundários serão a melhoria do aspeto gráfico da aplicação, assim como a melhor adaptação a diferentes sistemas operativos.

Por fim, a adição de suporte a proteínas poderá revelar interesses práticos na área de estudos químicos e bioquímicos *in silico*.

# Bibliografia

- [1] A. N. Raposo and A. J. P. Gomes, “Pi-surfaces: products of implicit surfaces towards constructive composition of 3d objects,” *CoRR*, vol. abs/1906.06751, 2019. [Online]. Available: <http://arxiv.org/abs/1906.06751>
- [2] T. K. G. Inc, “OpenGL,” 2020, [Online] <https://www.opengl.org/>. Último acesso a 21 de Setembro de 2020.
- [3] G. Project, “An OpenGL library | GLFW,” 2020, [Online] <https://www.glfw.org/>. Último acesso a 21 de Setembro de 2020.
- [4] T. K. G. Inc, “GLM SDK contribution,” 2020, [Online] <https://www.opengl.org/sdk/libs/GLM/>. Último acesso a 21 de Setembro de 2020.
- [5] D. Herberth, “Dawldde/glad: Multi-Language Vulkan/GL/GLES/EGL/GLX/WGL Loader-Generator based on the official specs,” 2020, [Online] <https://github.com/Dawldde/glad>. Último acesso a 24 de Novembro de 2020.
- [6] —, “Glad,” 2020, [Online] <https://glad.dawld.de/>. Último acesso a 24 de Novembro de 2020.
- [7] W. Lemberg, “The FreeType Project,” 2020, [Online] <https://www.freetype.org/>. Último acesso a 3 de Janeiro de 2020.
- [8] “daw42/glscookbook: Example code for the OpenGL Shading Language Cookbook - 2nd Edition,” 2020, [Online] <https://github.com/daw42/glscookbook>. Último acesso a 19 de Dezembro de 2020.
- [9] “glscookbook/sphere.cpp at master · daw42/glscookbook,” 2020, [Online] <https://github.com/daw42/glscookbook/blob/master/ingredients/sphere.cpp>. Último acesso a 25 de Dezembro de 2020.
- [10] A. Belt, “AndrewBelt/osdialog: A cross platform wrapper for OS dialogs like file save, open, message boxes, inputs, color picking, etc.” 2020, [Online] <https://github.com/AndrewBelt/osdialog>. Último acesso a 19 de Dezembro de 2020.

- [11] G. Project, “The GNU General Public License v3.0 - GNU Project - Free Software Foundation,” 2021, [Online] <https://www.gnu.org/licenses/gpl-3.0.en.html>. Último acesso a 8 de Janeiro de 2021.
- [12] J. de Vries, “LearnOpenGL - Render text,” 2021, [Online] <https://learnopengl.com/In-Practice/2D-Game/Render-text>. Último acesso a 12 de Janeiro de 2021.
- [13] “Atomic radii of the elements (data page) - Wikipedia,” 2021, [Online] [https://en.wikipedia.org/wiki/Atomic\\_radii\\_of\\_the\\_elements\\_\(data\\_page\)](https://en.wikipedia.org/wiki/Atomic_radii_of_the_elements_(data_page)). Último acesso a 27 de Dezembro de 2020.
- [14] “CPK Coloring - Wikipedia,” 2021, [Online] [https://en.wikipedia.org/wiki/CPK\\_coloring](https://en.wikipedia.org/wiki/CPK_coloring). Último acesso a 27 de Dezembro de 2020.
- [15] Evan, “etcwilde/MarchingTriangles: Implementing the Marching Triangles Algorithm,” 2021, [Online] <https://github.com/etcwilde/MarchingTriangles>. Último acesso a 13 de Janeiro de 2021.